



ارائه شده توسط :

سایت ترجمه فا

مرجع جدیدترین مقالات ترجمه شده

از نشریات معابر

# تشخیص جنسیت و قومیت از پروفایل های نیم رخ سایه صورت

چکیده :

این مقاله اولین به شناسایی جنسیت و نژاد از پروفایل های چهره سایه دار با استفاده از روش چشم کامپیوتری می پردازد. نتایج بعد از تست 441 تصویر نشان داد که پروفایل های سایه دار دارای حداکثر میزان اطلاعاتی هستند که برای شناسایی نژاد استفاده می شوند. تطبیق مبتنی بر زمینه شکل برای طبقه بندی استفاده شد. نمونه های ازماишی به صورت چند نژادی هستند. صحت متوسط برای جنسیت 71.20 و برای نژاد 71.66 درصد هستند. با این حال، صحت برای برخی کلاس ها معنی داربود یعنی 83.41 درصد برای زنان و 80.37 درصد برای شرق و جنوب شرق آسیا.

کلمات کلیدی : تشخیص چهره، تشخیص الگو و پردازش تصویر

## ۱- مقدمه

شناسایی جنسیت و نژاد یک چالش مهم در پردازش تصویر است. این ها کاربرد های زیادی با توسعه تعامل کامپیوتر-انسان و فناوری نظارت بصری دارند. شناسایی جنسیت می تواند در تشخیص چهره مفید باشد زیرا موجب کاهش مسئله تطبیق چهره با نیمی از دیتابیس می شود به شرط این که احتمال وقوع یکسان باشد. شناسایی نژاد بایستی این مسئله را کاهش دهد. در HCL، کامپیوتر می تواند جنبه را با پردازش صدا و یا ارایه گزینه هایی مفید تشخیص دهد. این ها به اگاهی از توزیع جغرافیایی مشتریان کمک می کند.

در بخش های زیر ما به توصیف دینابیس، شرایط ازماишی و نتایج و بحث می پردازیم. لطفاً به یاد داشته باشید که عبارت نژاد و جنسیت اشاره به افرادی دارند که در ای ویژگی های چهره ای مشابه و مشترک هستند و از این روی متفاوت از گروه های دیگر است.

## ۲- پس زمینه

انسان ها در تصمیم گیری در مورد جنسیت یک چهره دقیق زیادی ندارند به خصوص زمانی که ارایش، سبک مو و یا موی چهره به حداقل رسانده شود. نتایج نشان می دهد که هر دو رنگ و شکل در تصمیم گیری در مورد

جنسیت و نژاد از چهره مهم است. براس و همکاران نشان داد که چهره میانگین مرد از چهره زن در نمای سه بعدی متفاوت است. شکل در تصمیمات نژادمهم است.

دیاکنو (4) حضور علایم در انسان حتی در پروفیل نیم رخ را برای تشخیص جنسیت ضروری می کند. در مطالعه اخیر، دیوانکو و همکاران نشان داده است که سایه صورت اطلاعاتی را برای تشخیص نژاد ارایه می کند. بیشتر کارهای فعلی در جامعه چشم کامپیوتر از تصاویر چهره برای تشخیص نژاد و جنسیت استفاده می کند. برخی از منابع در خصوص تشخیص جنسیت را می توان در منابع 6 تا 17 یافت در حالی که اطلاعات نژاد را می توان در 8-11-17-18-19 یافت با این حال هیچ مقاله ای به بررسی پروفیل چهره سایه دار نپرداخته است. این مقاله اولین به شناسایی جنسیت و نژاد از پروفیل های چهره سایه دار با استفاده از روش چشم کامپیوتری می پردازد. نتایج بعد از تست 441 تصویر نشان داد که پروفیل های سایه دار دارای حداکثر میزان اطلاعاتی هستند که برای شناسایی نژاد استفاده می شوند. تطبیق مبتنی بر زمینه شکل برای طبقه بندی استفاده شد. نمونه های ازمايشی به صورت چند نژادی هستند. صحبت متوسط برای جنسیت 71.20 و برای نژاد 71.66 درصد هستند

### 3- دیتابیس

پروفیل های چهره سایه دار در دیتابیس از مدل های صورت سه بعدی هو و همکاران (20) گرفته شدند. سن افراد در دیتابیس در چارچوب ازمایشات و سنین 18 تا 30 سال برای اجتناب از انحرافات مربوط به سن تعیین شد. دیتابیس دارای 441 تصویر بود. که به چهار دسته نژادی بر اساس اطلاعات جمعیت شناختی تقسیم شدند.

#### 1- سیاه پوست

2- اسیای شرقی و جنوب شرقی: این ها شامل چینی، ها، ژاپنی، کره ای، ویتنام، فلیپیانو، و سینگاپور هستند.

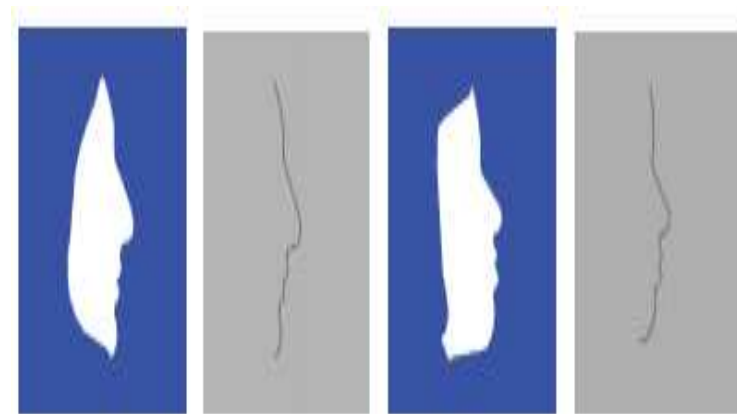
3- جنوب اسیا: هند، پاکستان، سریلانکا، بنگلادش

4- سفید: قفقاز، خاور میانه

توزیع جمعیت شناختی دیتابیس در جدول 1 نشان داده شده است. برخی از سایه ها و تراز پروفیل آن ها در شکل 1 نشان داده شده است

توزيع نژادی و جنسیتی دیتابیس							
B		W		ESEA		SA	
67		225		107		42	
M	F	M	F	M	F	M	F
32	35	118	107	55	52	25	17

جدول 1: توزیع جمعیت شناختی دیتابیس



شکل 1: پروفیل های چهره دیتابیس و بخش استخراج شده از تراز های پروفیل

#### 4- زمینه شکل

ما از تطبیق مبتنی بر زمینه شکل در ازمايشات استفاده کردیم که مطابق با تراز هاست. در این روش، شکل شی با مجموعه گسسته ای از نمونه های تراز درونی و بیرونی مدل سازی می شود. برای نقطه  $p_i$  روی شکل دارای  $n$  نقطه نمونه برداری شده، هیسنوگرام  $h_i$  از مختصات نقاط  $1-n$  نسبت به آن موسوم به زمینه  $p_i$  است.

$$h_i(k) = \#\{q \neq p_i : (q - p_i) \in bin(k)\} \quad (1)$$

این در فضای قطبی لگاریتمی استفاده می شود که موجب حساسیت زمینه ای به نقطه  $p_i$  است. هزینه تطبیق نقطه  $p_i$  برای شکل نقطه  $q_i$  بر روی شکل دوم بوده و  $C_{ij}$  با تست کای اسکوئر نشان داده می شود

$$C_{ij} \equiv C(p_i, q_j) = \frac{1}{2} \sum_{k=1}^K \frac{[h_i(k) - h_j(k)]^2}{h_i(k) + h_j(k)} \quad (2)$$

که  $h_j(k)$  و  $h_i(k)$  به ترتیب بیانگر هیسنوگرام نرمال  $k$  بین در  $p_i$  و  $q_i$  هستند.

با توجه به هزینه های  $C_{ij}$  بین همه جفت  $p_i q_j$  بر روی دو شکل هزینه کل تطبیق به صورت زیر است

$$H(\pi) = \sum_i C(p_i, q_{\pi(i)})) \quad (3)$$

هدف ما کمینه سازی  $H(\pi)$  منوط به عامل محدود کننده با تطبیق یک به یک است و مقدار  $\pi$  به صورت جایگشت است. این شامل استفاده از مدل مجارستانی است.

#### 5- تبدیل مختصات

ارتباط بین نقاط برای براورد تبدیل صفحه  $T$  با  $T: R^2 \rightarrow R^2$  استفاده می شود. این موید تبدیل است. از این روی از مدل اسپلاین برای تبدیل مختصات استفاده می شود این شکل به صورت یک مدل ویژه است. دوتابع  $TPS$  برای مدل سازی مختصات:

$$T(x, y) = (f_x(x, y), f_y(x, y)) \quad (4)$$

که  $f(x, y)$  موجب کمینه سازی انرژی پیوندی  $\text{if}$  شده و با (22) تعیین می شود

$$f(x, y) = a_1 + a_x x + a_y + \sum_{i=1}^n \omega_i U(\|(x_i, y_i) - (x, y)\|) \quad (5)$$

که  $(x_i, y_i)$  = the x-, y- مختصات نقطه pi است و  $i=1, 2, \dots, n$ ; تابع  $U(r) = r^2 \log r^2$ ,  $U(0) = 0$ ;  $\omega_i$  ثابت هستند. برای  $f(x, y)$  اوزان بوده و  $a_1, a_x, a_y$  متغیر های مختلف، می توان کفت:

$$\sum_{i=1}^n \omega_i = 0, \text{ also } \sum_{i=1}^n \omega_i x_i = \sum_{i=1}^n \omega_i y_i = 0 \quad (6)$$

انرژی خمی به صورت زیر است

$$I_f \propto \omega^T K \omega = D_{be} \quad (7)$$

که  $K_{ij} = U(\|(x_i, y_i) - (x_j, y_j)\|)$ . است. نیاز درون یابی با استفاده از منظم سازی تامین می شود

#### 6- روش شناسی

فاصله شکل از حاشیه پروفیل ازمایشی به اموزشی با رویکرد بلوگی با زمینه شکل محاسبه شد. روش به صورت زیر است

- روش زیر برای زمینه شکل یا تطبیق الگو نیاز نیست بلکه برای اجتناب از محاسبات تناظر نقاط به ویژه

گونه ها است و این موجب کاهش زمان محاسبه در هونگارین است. حاشیه های پروفیل در سمت راست

و ارتفاع برابر با 300 پیکسل است

- نمونه برداری هر دو حاشیه پروفیل ازمایشی و اموزشی تا 100 نقطه صورت می گیرد. این به طور یکنواخت

به صورت تصادفی انجام می شود با این حال مزیت فاصله حداقل بین نقاط را در 1 دارد.

- محاسبه زمینه شکل هر نقطه بر روی حاشیه پروفیل ها

- محاسبه تناظرین نقاط

- استفاده از تناظر نقاط برای براورد تبدیل صفحه T با  $T: R^2 \rightarrow R^2$  اسپلاین نازک

- محاسبه  $I_{fs}$   $D_{be}$ ,  $D_{sc}$  یعنی شاخص انرژی خمی

- محاسبه فاصله زمینه شکل،  $D_{sc}$  بین لبه پروفیل P و Q، به صورت مجموع غیر متقابن از تطبیق زمینه

شکل با معادله 8

$$D_{sc}(P, Q) = \frac{1}{n} \sum_{p \in P} \arg \min_{q \in Q} C(p, T(q)) + \frac{1}{m} \sum_{q \in Q} \arg \min_{p \in P} C(p, T(q)) \quad (8)$$

- براورد های اولیه تناظر برخی از خطاهای این کار با تکرار مراحل و تبدیل انجام می شود

- محاسبه فاصله شکل Dsh از مجموع وزنی  $D_{be}$  و  $D_{sc}$

$$D_{sh} = w_{sc} \times D_{sc} + w_{be} \times D_{be} \quad (9)$$

محاسبه فاصله شکل Dsh از پروفیل ازمایشی با همه حاشیه های پروفیل اموزشی و طبقه بندی با نزدیک ترین همسایه

## 5- ازمایش و نتایج

دیتابیس اموزشی از حیث مقوله قومی جنسیتی ( طبقه بندی شدن و از این روی احتمالات قبلی اثری بر روی نتایج نزدیگ ترین طبقه بندی نداشت. دیتاست اموزشی دارای 128 بود.

اولین دیتاسیت بر روی دیتاسیت اموزشی تست شد. سپس از رویکرد جایگزینی برای تست اعضای دیتاسیت اموزشی استفاده شد. هر عضو در دیتابیس اموزشی به صورت یک به یک استفاده شدو. الگوریتم اجرا گردید. این روش روی 144 تصویر اجرا شد مقادیر اوزان در معادله 8 و تکرار ها به طور تجربی تعیین شد. صحت حاصله در جدول 2 خلاصه شده است. ماتریس ابهام کلاس در جدول 2، جنسیت در جدول 3 و نژاد در جدول 4 نشان داده شده است. برای توجیه اختصارات در نژاد ها به بخش 3 مراجعه کنید. از مفهوم خطای استفاده شد که در آن  $p$  صحت است

$$(SE = \sqrt{p(1-p)/n}),$$

خطای استاندارد	نژاد	خطای استاندارد	جنسیت	
$\pm 2.15\%$	71.66%	$\pm 2.16\%$	71.20%	صحت

جدول 2: نتایج

Ground Truth	Recognized As		Recognized As			
	As		Female		Male	
	Female	Male	%	SE %	%	SE %
Female	176	35	83.41	$\pm 2.56$	16.59	$\pm 2.56$
Male	92	138	40	$\pm 3.23$	60	$\pm 3.23$

جدول 3: ماتریس ابهام برای جنسیت

Ground Truth	Recognized As			
	B	ESEA	SA	W
B	39	24	0	4
ESEA	7	86	6	8
SA	0	13	14	15
W	1	12	35	177

جدول 4: ماتریس ابهام برای نژاد

Ground Truth	Recognized As							
	B		ESEA		SA		W	
	%	SE %	%	SE %	%	SE %	%	SE %
B	58.21	± 6.0	35.82	± 5.9	0.00	0.0	5.97	± 2.9
ESEA	6.54	± 2.3	80.37	± 3.8	5.61	± 2.2	7.48	± 2.5
SA	0.00	0.0	30.95	± 7.1	33.33	± 7.3	35.71	± 7.4
W	0.44	± 0.4	5.33	± 1.5	15.56	± 2.4	78.67	± 2.7

جدول 5: ماتریس ابهام برای قومیت

## 8- مشاهدات و بحث

می توان مشاهده کرد که زنان به طور مطمئنی از نظر صحت شناسایی می شوند ( $83.41 \pm 2.56\%$ ) که در جدول 3 نشان داده شده است این بر خلاف نمای فرانتال است که به سمت مردان در عملکرد اربیبی دارد(11). اسیای جنوبی ها و شرقی ها مقوله نژادی مطمئن تری دارند که با صحت  $(80.37 \pm 3.8)\%$  نشان داده می شود که در جدول 5 دیده می شود وايت و بلک صحت بالایی از شناسایی واقعی را نشان می دهند. سیاه پوستان با اسیای چنوب شرق و شرق اشتباه گرفته می شوند. افر افراد سفید پوست گاهی با اسیایی ها اشتباه گرفته می شوند. نتایج نسبت به عملکرد متوسط انسان برای پروفیل های چهره در ازمایش نشان داد که توسط گروه ما بر روی 21 نفر بود. عملکرد متوسط در ازمایش برابر با 57.63 برای جنسیت و 45.8 برای نژاد بود. اثر وضوح بروی عملکرد در این مطالعه بررسی نشده است.

ما برای اولین بار کاربرد روش چشم کامپیوتر را در تشخیص نژاد و جنسیت از پروفیل های چهره سایه بررسی کردیم این با سایر روش های تشخیص چهره در اینده می تواند ترکیب شود. این موجب بخوبد عملکرد پروفیل های سایه می شود که اطلاعات زیادی را در این رابطه نشان داده است.



این مقاله، از سری مقالات ترجمه شده رایگان سایت ترجمه فا میباشد که با فرمت PDF در اختیار شما عزیزان قرار گرفته است. در صورت تمایل میتوانید با کلیک بر روی دکمه های زیر از سایر مقالات نیز استفاده نمایید:

✓ لیست مقالات ترجمه شده

✓ لیست مقالات ترجمه شده رایگان

✓ لیست جدیدترین مقالات انگلیسی ISI

سایت ترجمه فا؛ مرجع جدیدترین مقالات ترجمه شده از نشریات معترض خارجی